

等間隔であることが分かる。これによって(仮定1)は実験事実として認められ、 $C_\alpha = 0.017$ となる。

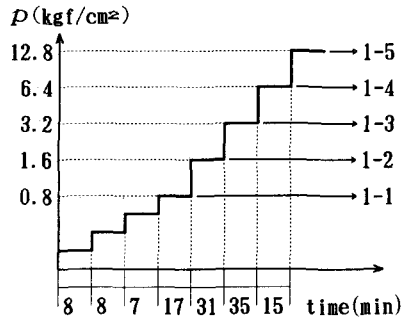


図6 長期圧密試験の荷重段階

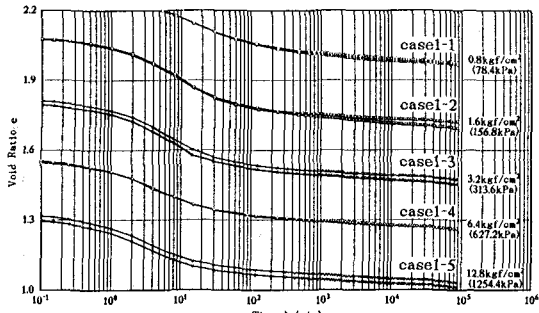


図7 最終荷重段階における圧密曲線

除荷再載荷試験については、先行応力となる $1.6, 3.2, 6.4 \text{ kgf/cm}^2$ までは荷重増加率1で載荷期間24時間の段階載荷を行い、その後 $-\Delta p/p = 1$ で24時間毎に 0.4 kgf/cm^2 まで段階載荷した。その結果である図8をみると、除荷再載荷に伴うヒステリシスループが明確に現れており、その両端点で直線と近似した膨潤線の傾き C_r もOCRに依存している。しかし、本モデルが基本的に遅延弾性の影響を考慮していないため、それらの最大値をとって $C_r = 0.1$ とした。これによって本モデルの本質が損なわれることはないが、今後この回復成分の実験的検討は必須であると考えている。

残るCRS試験は、人為的に過圧密状態にした初期状態の異なる供試体に同一のひずみ速度($0.3\%/\text{min}$)を与えたもの(図9)と、載荷中にひずみ速度を変化させる($0.0005 \rightarrow 0.012 \rightarrow 0.0005 \rightarrow 0.012\%/\text{min}$)交番CRS試験(図10)である。 C_β の決定については、前述したようにこのCRS圧縮曲線から直接求めた C_c を C_β とした。さらに、式①の数値解を求めるにあたって式③における初期粘性係数 η_0 を決定せねばならないが、 $(de/de) = 10^{-2} (1/\text{min})$ のCRS圧縮曲線が $(e, \sigma') = (1.0, 10.0)$ を通ることから、その点での η を $\eta_0 = \sigma'_{\infty}/(de/dt) = 10.0/10^{-2} = 10^{+3} (\text{kgf/cm}^2 \cdot \text{min})$ とした。

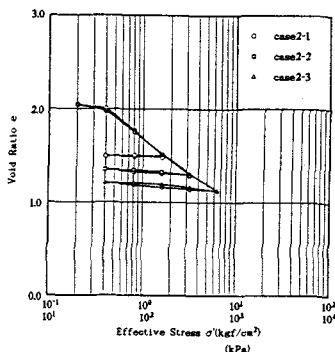


図8 除荷再載荷に伴うヒステリシスループ

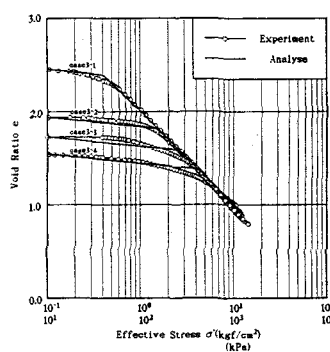


図9 初期状態の異なるCRS圧縮曲線

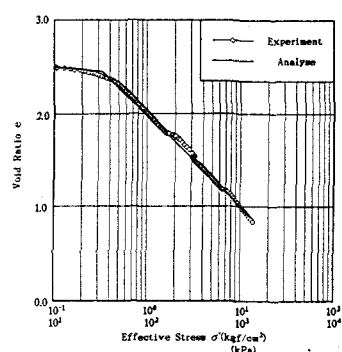


図10 交番CRS試験

4.まとめ

解析値と実験値をフィッティングさせた両図を見ても明らかなように、圧縮曲線の位置は初期状態によらずひずみ速度のみによって定まること、ひずみ速度の変化にのみ従って屈曲が現れることの二点が明確に説明できる。これによって本論分で提案した弾粘性パラメータの決定方法は、妥当であったと考えている。

関連文献 1)吉国(1990):軟弱粘土の圧密曲線と圧縮曲線に対する一つの解釈(Ⅰ), 第25回土質工学研究発表会講演概要集, p. 307-310

2)吉国, 平尾, 嘉屋(1992):弾粘性挙動の立場から見た定ひずみ速度における圧縮曲線の解釈, 第47回土木学会年次学術講演会概要集, p. 468-469

3)吉国(1993):軟弱粘土の圧密曲線と圧縮曲線に対する一つの解釈(Ⅳ), 第28回土質工学研究発表会講演概要集